



Cinvestav

Centro de Investigación y de Estudios
Avanzados del Instituto Politécnico Nacional
Unidad Guadalajara

Tarea 5. Control en formación

Presentado por

Jesús Alejandro Díaz Hernández

Presentado para el curso de
Tópicos avanzados de control 2

Curso impartido por: Héctor Manuel Becerra Fermín
Profesor

Guadalajara, Jalisco

19 de Junio del 2024

Pregunta 1.

Consideremos agentes modelados como dobles integradores, es decir $\ddot{p} = u_i$. Consideremos, además, la referencia como una curva de Lissajous modelado con los siguientes parámetros

$$A = 2$$

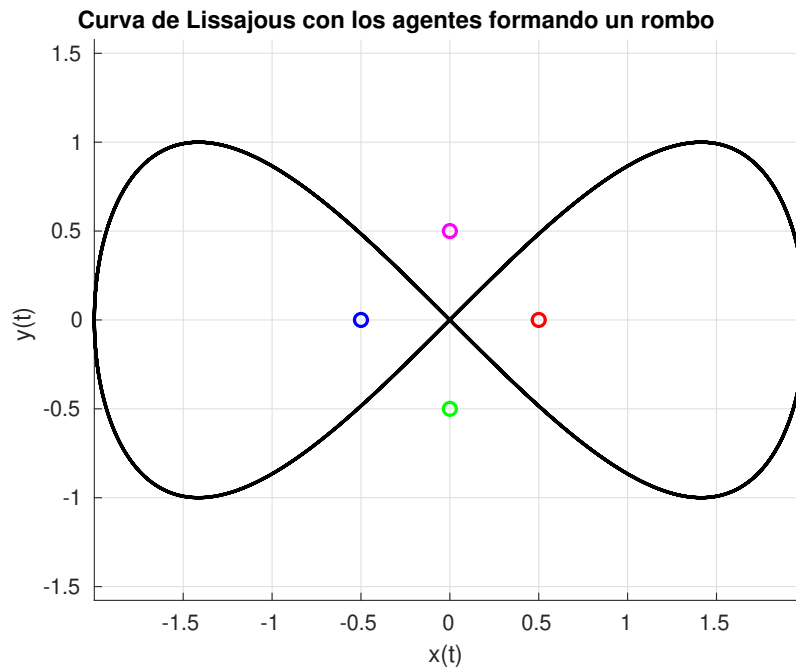
$$B = 1$$

$$a = 1$$

$$b = 2$$

$$\text{delta} = 0$$

y parametrizada en el tiempo como $x = A\sin(at + \text{delta})$ y $y = B\sin(bt)$. Se desea lograr un seguimiento en formación en diamante como se muestra en la siguiente figura:

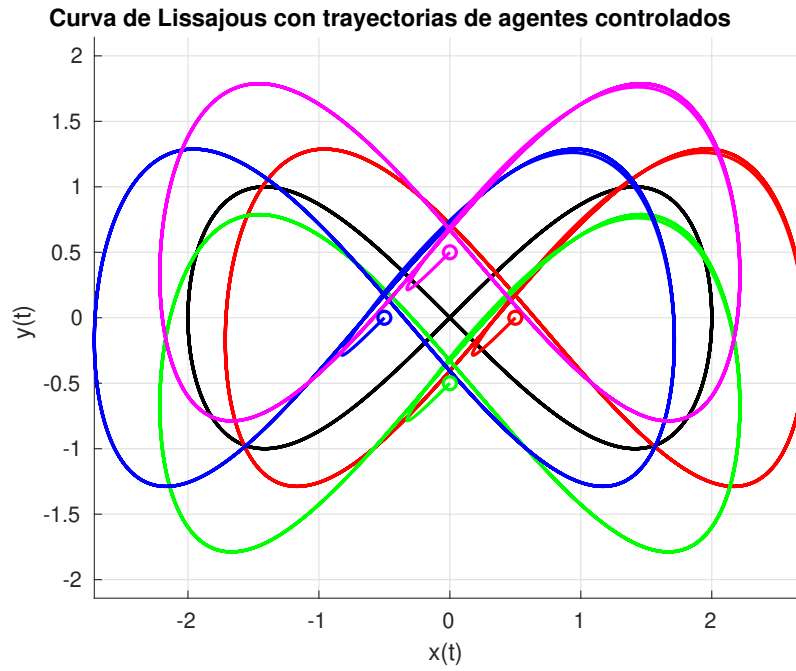


Pregunta 2.-

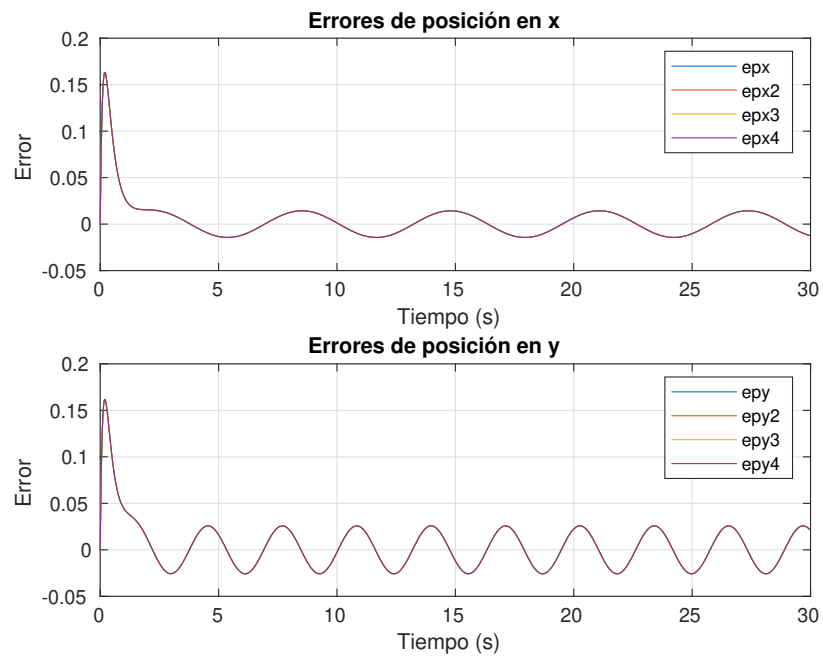
Las posiciones de cada agente está definida con respecto a la curva a una unidad de separación en sentido horario, es decir, el primer agente (rojo en la figura) está en $x + d, y$ donde x, y son las coordenadas de la curva de Lissajous, el segundo agente (el verde) estaría definido como $x, y - d$, el tercero (azul) $x - d, y$ y el cuarto (rosa) $x, y + d$. Las coordenadas irán cambiando con el tiempo.

Pregunta 3.-

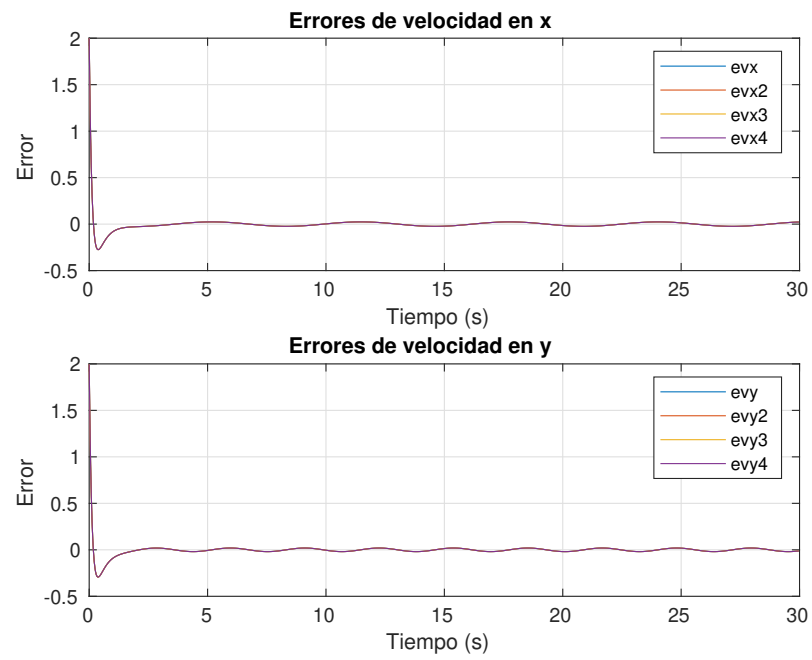
Utilizando la siguiente ley de control: $u = a_{ref} + k_a(k_v e_v + k_p e_p)$, donde $k_a, k_v, k_p > 0$ son ganancias de retroalimentación, $e_p = p^* - p$, es la posición deseada menos la real, a_{ref} es la segunda derivada de la función que define nuestra curva de Lissajous, y $e_v = v^* - v$ es la velocidad deseada menos la real. Al aplicarla a 4 agentes cuya posición inicial está dada ya en forma de rombo, como en la figura el punto 1, obtenemos los siguientes resultados. Las trayectorias:



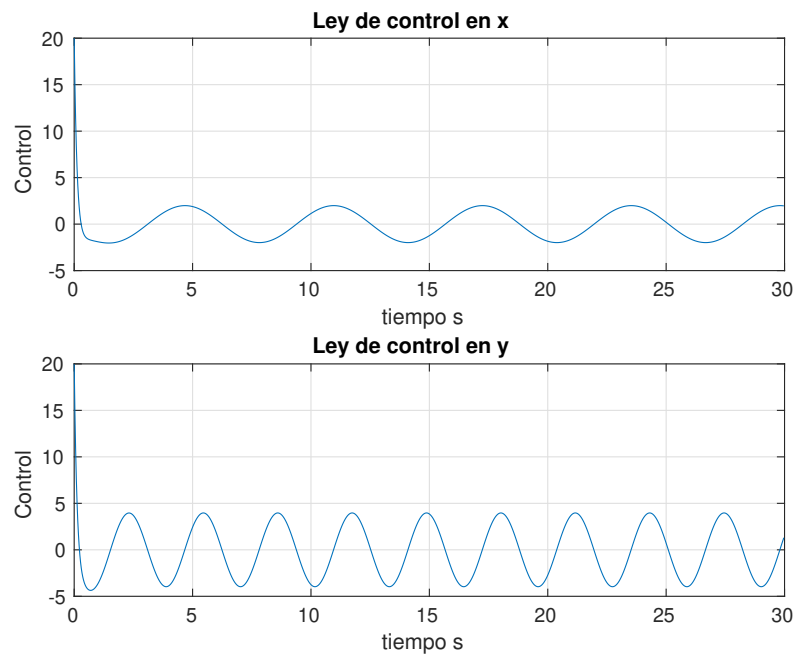
Los errores de posición en x y y , para todos los agentes:



Los errores de velocidad en x y y , para todos los agentes:

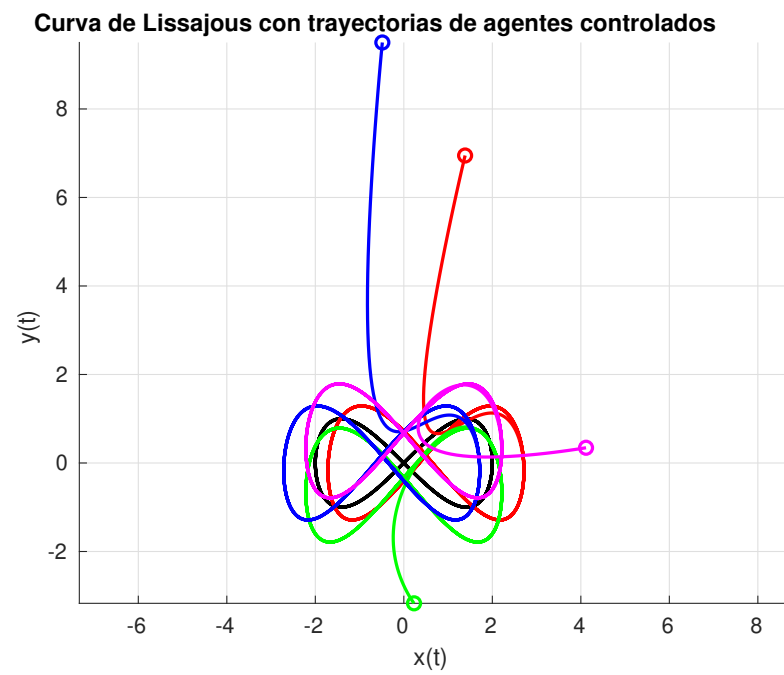


y finalmente las leyes de control para ambas coordenadas:

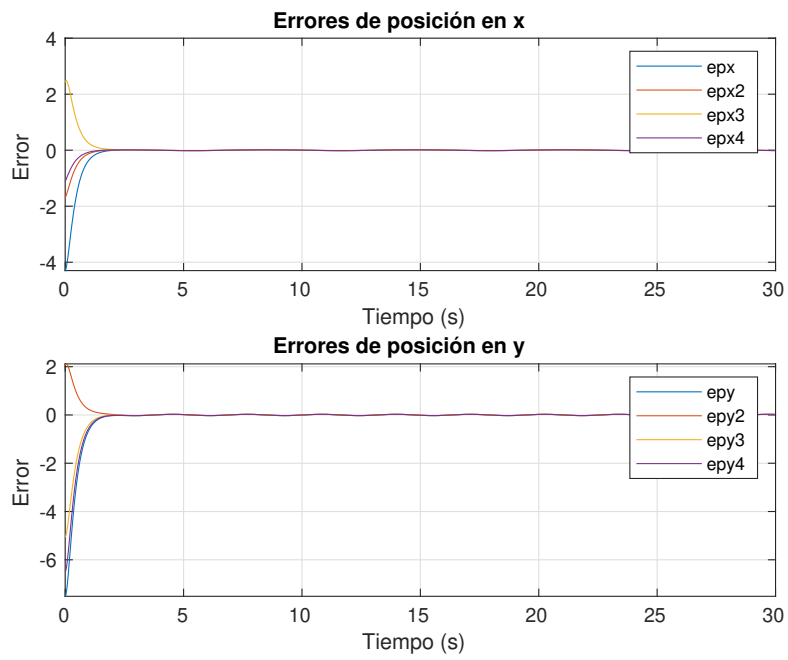


Pregunta 4.-

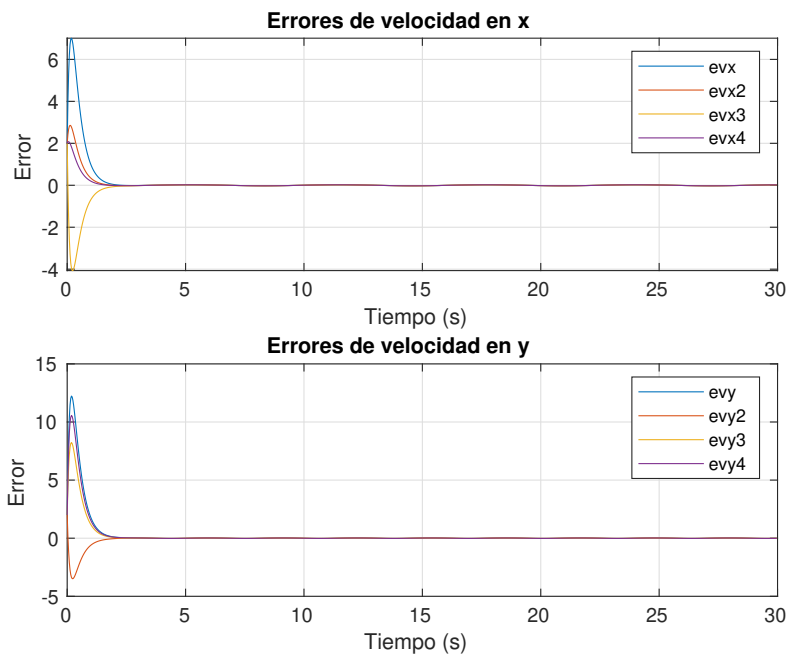
Repetiendo la simulación, pero para condiciones iniciales aleatorias y no partiendo en posición, obtenemos los siguientes resultados:



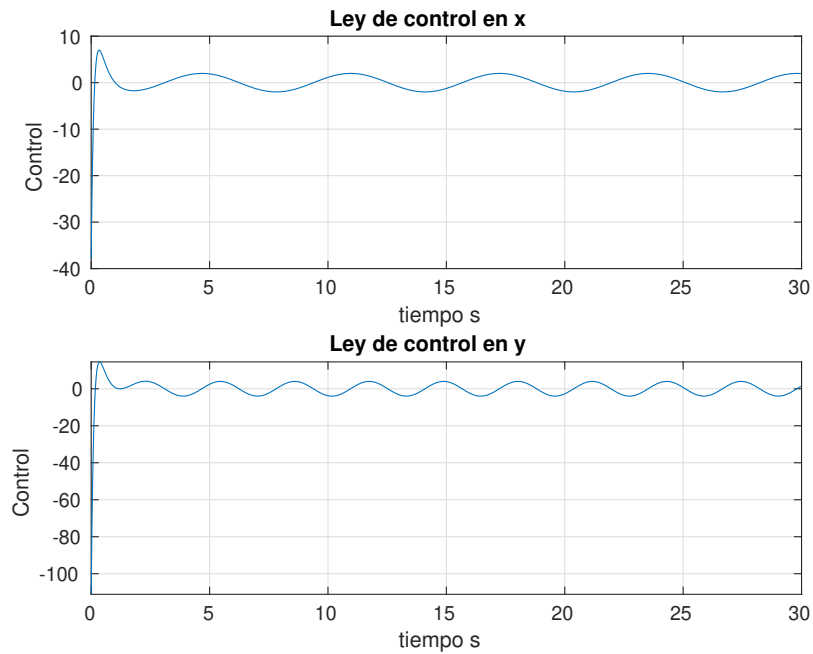
Los errores de posición en x y y , para todos los agentes:



Los errores de velocidad en x y y , para todos los agentes:



y finalmente las leyes de control para ambas coordenadas:



Pregunta 5.-

El control propuesto fue probado para varios parámetros de la curva de Lissajous, así como para diferentes valores de las ganancias k_i . Los resultados mostraron que al aumentar las ganancias, la convergencia del error se acerca más rápidamente a cero. No obstante, se observó que para lograr una convergencia efectiva, es necesario incrementar las ganancias de manera significativa, lo cual puede no ser práctico en todas las situaciones.

Esta observación sugiere que el sistema de control podría beneficiarse de un enfoque más sofisticado, como la incorporación de referencias de los agentes circundantes. Con un sistema de referencia relativo entre los agentes, es probable que se puedan obtener resultados de convergencia más precisos sin necesidad de utilizar ganancias tan altas. Esto no solo mejoraría la eficiencia del sistema de control, sino que también podría reducir el esfuerzo de control y los posibles efectos adversos de grandes ganancias, como la saturación del actuador o la inestabilidad del sistema.

Anexo (código usado)

```
1 clc
2 clearvars
3 close all
```

```

4
5 % Parametros de la curva de Lissajous
6 A = 2;           % Amplitud en x
7 B = 1;           % Amplitud en y
8 a = 1;           % Frecuencia en x
9 b = 2;           % Frecuencia en y
10 delta = 0;       % Diferencia de fase
11
12 AA=[0 0 1 0;
13      0 0 0 1;
14      0 0 0 0;
15      0 0 0 0];
16
17 BB=[0 0;
18      0 0;
19      1 0;
20      0 1];
21
22 % Tiempo
23 tiempo=30; %tiempo en segundos
24 t = linspace(0, tiempo, 1000); % Aumentar el rango de tiempo para
    la simulacion
25
26 % Ecuaciones parametricas de la curva de Lissajous
27 x_curve = A * sin(a * t + delta);
28 y_curve = B * sin(b * t);
29 %Derivada de la curva de Lissajous
30 vx_curve= A*a*cos(a*t+delta);
31 vy_curve= B*b*cos(b*t);
32 %Segunda derivada
33 ax_curve= - A* a^2 * sin(a * t +delta);
34 ay_curve= - B * b^2 * sin(b * t);
35 % Distancia desde la curva para los agentes
36 d = .5;
37
38 % Posiciones relativas de los agentes con respecto a la curva
39 %Primer punto
40 % x_offset = [d, 0, -d, 0];
41 % y_offset = [0, -d, 0, d];
42 %Segundo punto
43 x_offset = 5*[rand(), rand(), -rand(), rand()];
44 y_offset = 10*[rand(), -rand(), rand(), rand()];
45
46 % Parametros de control
47 k_a = 1;
48 k_v = 10;
49 k_p = 20;
50
51 % Inicializar posiciones y velocidades de los agentes
52 p = zeros(4, 1);
53 p2 = zeros(4, 1);
54 p3 = zeros(4, 1);
55 p4 = zeros(4, 1);
56
57 % Inicializar estados
58 %Primer punto
59 p(:,1)=[x_curve(1) + x_offset(1);y_curve(1) + y_offset(1);0;0];

```

```

60 p2(:,1)=[x_curve(1) + x_offset(2);y_curve(1) + y_offset(2);0;0];
61 p3(:,1)=[x_curve(1) + x_offset(3);y_curve(1) + y_offset(3);0;0];
62 p4(:,1)=[x_curve(1) + x_offset(4);y_curve(1) + y_offset(4);0;0];
63
64 % Simulacion
65 dt = t(2) - t(1);
66 for k = 1:length(t)-1
67     % Posiciones deseadas en el siguiente instante de tiempo
68     p_des = [x_curve(k)+d;y_curve(k)];
69     p_des2 = [x_curve(k) ;y_curve(k)-d];
70     p_des3 = [x_curve(k) - d;y_curve(k)];
71     p_des4 = [x_curve(k) ;y_curve(k)+d];
72     % Posicion actual
73     p_real= p(1:2,k);
74     p_real2= p2(1:2,k);
75     p_real3= p3(1:2,k);
76     p_real4= p4(1:2,k);
77     %Error de posicion
78     e_p = p_des-p_real;
79     e_p2 = p_des2-p_real2;
80     e_p3 = p_des3-p_real3;
81     e_p4 = p_des4-p_real4;
82
83     %Velocidad deseada
84     v_des=[vx_curve(k+1);vy_curve(k+1)];
85     v_des2=[vx_curve(k+1);vy_curve(k+1)];
86     v_des3=[vx_curve(k+1);vy_curve(k+1)];
87     v_des4=[vx_curve(k+1);vy_curve(k+1)];
88     %Velocidad actual
89     v_real=p(3:4,k);
90     v_real2=p2(3:4,k);
91     v_real3=p3(3:4,k);
92     v_real4=p4(3:4,k);
93     %Error de velocidad
94     e_v = v_des-v_real;
95     e_v2 = v_des2-v_real2;
96     e_v3 = v_des3-v_real3;
97     e_v4 = v_des4-v_real4;
98     % e_v=-k_p*e_p;
99
100     % Control de aceleracion
101     u = [ax_curve(k);ay_curve(k)]+k_a * (k_v * e_v + k_p * e_p);
102     u2 = [ax_curve(k);ay_curve(k)]+k_a * (k_v * e_v2 + k_p * e_p2);
103     u3 = [ax_curve(k);ay_curve(k)]+k_a * (k_v * e_v3 + k_p * e_p3);
104     u4 = [ax_curve(k);ay_curve(k)]+k_a * (k_v * e_v4 + k_p * e_p4);
105     %Sistema
106     p(:,k+1)=p(:,k)+(AA*p(:,k)+BB*u)*dt;
107     p2(:,k+1)=p2(:,k)+(AA*p2(:,k)+BB*u2)*dt;
108     p3(:,k+1)=p3(:,k)+(AA*p3(:,k)+BB*u3)*dt;
109     p4(:,k+1)=p4(:,k)+(AA*p4(:,k)+BB*u4)*dt;
110
111     % Control
112     ux(:,k)=u(1);
113     uy(:,k)=u(2);
114
115     %Errores en posiciones
116     ep(:,k)=e_p(1);

```

```

117     epy(:,k)=e_p(2);
118     epx2(:,k)=e_p2(1);
119     epy2(:,k)=e_p2(2);
120     epx3(:,k)=e_p3(1);
121     epy3(:,k)=e_p3(2);
122     epx4(:,k)=e_p4(1);
123     epy4(:,k)=e_p4(2);
124
125     %Errores en velocidad
126     evx(:,k)=e_v(1);
127     evy(:,k)=e_v(2);
128     evx2(:,k)=e_v2(1);
129     evy2(:,k)=e_v2(2);
130     evx3(:,k)=e_v3(1);
131     evy3(:,k)=e_v3(2);
132     evx4(:,k)=e_v4(1);
133     evy4(:,k)=e_v4(2);
134
135 end
136
137 % Graficar la curva de Lissajous y las trayectorias de los agentes
138 figure;
139 hold on;
140
141 % Graficar la curva de Lissajous
142 plot(x_curve, y_curve, 'k', 'LineWidth', 1.5);
143
144 % Colores para los agentes
145 colors = ['r', 'g', 'b', 'm'];
146
147 plot(p(1, :), p(2, :), 'Color', colors(1), 'LineWidth', 1.5);
148 plot(p2(1, :), p2(2, :), 'Color', colors(2), 'LineWidth', 1.5);
149 plot(p3(1, :), p3(2, :), 'Color', colors(3), 'LineWidth', 1.5);
150 plot(p4(1, :), p4(2, :), 'Color', colors(4), 'LineWidth', 1.5);
151
152 plot(p(1, 1), p(2, 1), 'o', 'Color', colors(1), 'LineWidth', 1.5);
153 plot(p2(1, 1), p2(2, 1), 'o', 'Color', colors(2), 'LineWidth', 1.5);
154 plot(p3(1, 1), p3(2, 1), 'o', 'Color', colors(3), 'LineWidth', 1.5);
155 plot(p4(1, 1), p4(2, 1), 'o', 'Color', colors(4), 'LineWidth', 1.5);
156
157 title('Curva de Lissajous con trayectorias de agentes controlados')
158 ;
159 xlabel('x(t)');
160 ylabel('y(t)');
161 grid on;
162 axis equal;
163 hold off;
164
165 figure
166 subplot(2,1,1)
167 plot(t(1,1:size(t,2)-1),epx);
168 title('Errores de posicion en x')
169 ylabel('Error')
170 xlabel('tiempo s')
171 grid on
172 subplot(2,1,2)
173 plot(t(1,1:size(t,2)-1),epy);

```

```

173 title('Errores de posicion en y')
174 ylabel('Error')
175 xlabel('tiempo s')
176 grid on
177 %
178 %
179 figure
180 subplot(2,1,1)
181 plot(t(1,1:size(t,2)-1),evx);
182 title('Errores de velocidad en x')
183 ylabel('Error')
184 xlabel('tiempo s')
185 grid on
186 subplot(2,1,2)
187 plot(t(1,1:size(t,2)-1),evy);
188 title('Errores de velocidad en y')
189 ylabel('Error')
190 xlabel('tiempo s')
191 grid on
192
193
194 figure
195 subplot(2,1,1)
196 plot(t(1,1:size(t,2)-1),ux);
197 title('Ley de control en x')
198 ylabel('Control')
199 xlabel('tiempo s')
200 grid on
201 subplot(2,1,2)
202 plot(t(1,1:size(t,2)-1),uy);
203 title('Ley de control en y')
204 ylabel('Control')
205 xlabel('tiempo s')
206 grid on

```